

Известия НАН Армении, Физика, т.57, №4, с.528–535 (2022)

УДК 538.91; 539.23  
DOI:10.54503/0002-3035-2022-57.4-528

## МИКРОСТРУКТУРА ПЛЁНОК ZnO:Er ИЗГОТОВЛЕННЫХ МЕТОДОМ МАГНЕТРОННОГО РАСПЫЛЕНИЯ

В.Ф. ГРЕМЕНOK\*

Государственное научно-производственное объединение «Научно-практический центр Национальной академии наук Беларусь по материаловедению», Минск, Беларусь

\*e-mail: gremenok@physics.by

(Поступила в редакцию 22 августа 2022 г.)

Тонкие плёнки ZnO, легированные Er (эрбием) (ZnO:Er) были выращены на кварцевых и p-Si подложках при температуре 25°C методом радиочастотного магнетронного напыления. Влияние термообработки при 600°C и 900°C на свойства плёнок было проанализировано с помощью сканирующей электронной микроскопии, атомно-силовой микроскопии и рентгеноструктурного анализа. Выявлено однородное распределение элементов для всех исследованных пленок на различных подложках. Обнаружено, что пленки ZnO:Er являются однородными, без точечных проколов, с хорошей адгезией к подложке, а размер кристаллических зерен зависит от типа подложки и условий получения. Все пленки показали преимущественную ориентацию (002) вдоль оси C, перпендикулярной поверхности подложки. Результаты, полученные из спектров рентгеновской дифракции, показывают, что ионы Er<sup>3+</sup> успешно замещают ионы Zn<sup>2+</sup> в решётке ZnO.

### 1. Введение

Оксид цинка (ZnO) представляет собой широкозонный полупроводниковый материал, который обладает уникальным сочетанием оптических, акустических и электрических свойств и широко используется в ряде оптоэлектронных устройств, таких как преобразователи поверхностных акустических волн (ПАВ), солнечные элементы, оптические волноводы, лазерные отражатели и жидкокристаллические дисплеи (ЖК-дисплеи) [1–3]. Этот растущий интерес к ZnO обусловлен возможностью его использования в оптоэлектронике, что стало возможным главным образом благодаря его прямой запрещенной зоне  $E_g \approx 3.3\text{--}3.4$  эВ при 300 К [4]. Он кристаллизуется при относительно низких температурах и обладает настраиваемыми свойствами путем легирования для достижения высокого оптического пропускания и низкого сопротивления.

В последние годы интерес к получению тонких пленок ZnO, легированных лантаноидными элементами ( $\text{Ln}^{3+}$ ), возрос из-за интересных свойств, которые могут быть получены при использовании элементов с валентными электронами на оболочке 4f [5–7]. Хорошо известно, что редкоземельные ионы (эрбий, тербий,

европий, тулий и т.д.) представляют собой особый вид фотоактивных центров с узкими эмиссионными линиями и длительным временем жизни излучения в различных полупроводниковых материалах. Среди них эрбий ( $\text{Er}^{3+}$ ) является подходящим кандидатом для преобразования инфракрасного излучения в видимый свет благодаря структуре своих энергетических уровней [5,8,9]. Трехвалентный эрбий имеет неполную электронную оболочку  $4f$ , которая защищена от внешней атомной среды закрытыми оболочками  $5s$  и  $5p$ . В результате из материалов, легированных эрбием, могут быть достигнуты довольно резкие оптические переходы внутри уровня  $4f$ . Переход из первого возбужденного состояния в основное состояние в  $\text{Er}^{3+}$  происходит при энергии 0.8 эВ, соответствующей длине волны 1.54 мкм. Это важная длина волны для телекоммуникаций, поскольку стандартные оптические волокна на основе кремнезема имеют максимальную прозрачность на этой длине волны и широко используются в качестве безопасного для глаз ресурса в атмосфере, лазерных радарах, медицине и хирургии [5].

На характеристики выращиваемых тонких плёнок сильное влияние оказывают техника нанесения и параметры процесса. Существуют различные методы для нанесения тонких плёнок  $\text{ZnO}$  [1–3]. Одним из методов изготовления пленок  $\text{ZnO}$  является радиочастотное (РЧ) магнетронное распыление. Это приводит к образованию столбчатой пленки  $\text{ZnO}$  с предпочтительной ориентацией вдоль оси С, перпендикулярно поверхности подложки. Однако сравнение результатов, полученных для тонких пленок, насколько известно, иногда бывает противоречивым. В то же время тип подложки может влиять на структуру, а также на включение  $\text{Er}$  в зерна  $\text{ZnO}$ . Другим важным фактором является температура роста и отжига для образования тонкой пленки. Обработка тонких пленок отжигом необходима для изменения локальной структуры  $\text{Er}$ , образуя кластеры либо в матрице  $\text{ZnO}$ , либо на границах зерен [7,10].

В этой работе пленки  $\text{ZnO}$ , легированные  $\text{Er}$ , были выращены на подложках из плавленого кварца и p-Si методом радиочастотного магнетронного распыления; также исследовано влияние термического отжига при 600–900°C на их микроструктурные свойства.

## 2. Экспериментальная часть

Тонкие пленки  $\text{ZnO}:\text{Er}$  были выращены на подложках из чистого Si и плавленого кварца методом радиочастотного магнетронного распыления мишени  $\text{Zn}$  и  $\text{ErCl}_3$  в атмосфере аргона с кислородом (20 % Ar и 80 %  $\text{O}_2$ ) при давлении  $5 \times 10^{-3}$  Торр. Использовались мишени с составом эрбия 1 % и 2 % по массе. Плотность мощности, подаваемой на катод, составляла 2.0 Вт/см<sup>2</sup>, а время осаждения составляло 60 мин. Оба типа подложек были помещены на один и тот же держатель образца для получения слоев, выращенных в одних и тех же условиях. Температуру подложки поддерживали на уровне 25°C. Толщина всех исследованных пленок составляла около 600–700 нм. После нанесения пластины разрезали на кусочки размером 1×1 см<sup>2</sup>. Отжиг после выращивания (60 мин.) проводили при 600 и 900°C в обычной печи в потоке азота.

Химический состав и профиль глубины элементов в пленках определяли методом энергодисперсионной рентгеновской спектроскопии (ЭРС) и электронной ОЖЕ-спектроскопии (ЭОС) с использованием CAMECA SX-100 и Perkin Elmer Physics Electronic 590 соответственно. Морфологию анализировали методом сканирующей электронной микроскопии (СЭМ) с использованием JEOL 6400. Эксперименты АСМ проводились с использованием атомно-силового микроскопа Solver Nano, NT-MDT. Топографические 2D АСМ изображения были записаны с разрешением  $256 \times 256$  пикселей на площади сканирования  $4 \times 4 \text{ мкм}^2$  для оценки шероховатости. Рентгеновские измерения пленок ZnO проводили с использованием рентгеновского дифрактометра Ultima IV (Rigaku) в геометрии скользящего падения при  $1.0^\circ$  рентгеновских лучей с источником излучения CuK $\alpha$  в диапазоне  $10\text{--}80^\circ$ . Анализ рентгеновских спектров пленок проводилась с использованием карт данных JCPDS.

### 3. Обсуждение результатов

#### 3.1. Элементный состав и морфология плёнок

Состав тонких пленок ZnO:Er до и после отжига оценивался по измерениям ЭРС и оставался неизменным после термической обработки. Химический состав определяли путем усреднения значений концентрации из 10 различных точек на поверхности пленки (табл. 1). Результаты ЭРС показывают, что коэффициент включения ионов Er $^{+3}$  низок и составляет примерно 1.5%. Спектр ЭРС пленок, легированных Er, показывает сигналы Zn, O, Er, Si, C и Ca, где Si, C, Ca соответствуют подложке. Элементное картирование Zn, Er и O показывает однородное распределение всех компонентов без каких-либо концентрированных мест на поверхности (не показано в данной статье).

Аналогичный элементный состав (Zn, O, Er в атомных %) тонких пленок

Табл.1. Химический состав исходной и легированных плёнок, полученных на различных подложках

Образец	Подложка	Температура отжига, °C	Zn, ат. %	O, ат. %	Er, ат. %
i-ZnO	Si	25	49.9	50.1	—
1-ZnO:Er	Si	25	48.7	50.5	0.8
2-ZnO:Er	Si	600	49.1	50.1	0.8
3-ZnO:Er	Si	900	49.3	50.0	0.7
4-ZnO:Er	кварц	25	49.2	49.3	1.5
5-ZnO:Er	кварц	600	49.5	49.1	1.4
6-ZnO:Er	кварц	900	49.1	49.4	1.4

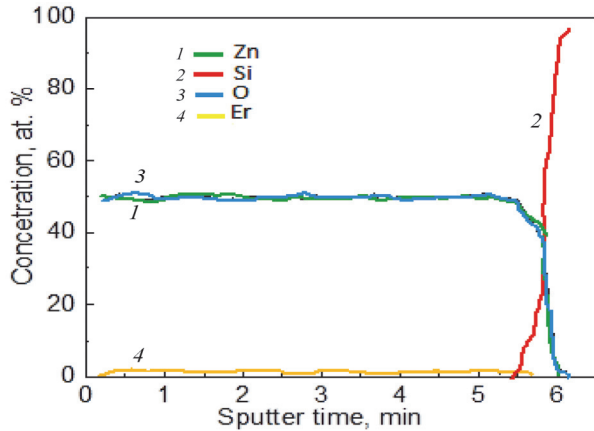


Рис.1. ЭОС спектр распределения элементов по толщине пленок ZnO:Er на кремниевой подложке.

ZnO был подтвержден методом ОЭС. В качестве примера, на рис.1 показан профиль глубины элементов для выращенной не отожженной пленки 1-ZnO:Er. Однородное распределение элементов Zn, O и Er по глубине пленки видно из рис.1. Аналогичное однородное распределение элементов также выявлено для всех исследованных пленок на разных подложках. Этот факт подтвердил высокое качество нанесенных пленок с почти идеальной стехиометрией химических элементов Zn и O. Измерения показывают, что атомная концентрация Er в ZnO не превышает 1.5 ат. % при магнетронном распылении.

Морфология поверхности и изображения поперечного сечения тонких пленок были охарактеризованы методом СЭМ. Согласно механизмам роста кристаллов, растущие грани кристаллитов соответствуют форме кристалла в равновесии и определяются ориентацией кристалла. Конкуренция за рост может начаться между соседними кристаллами в зависимости от их ориентации. Более быстро-растущие кристаллы будут расти над медленно растущими. Как только конкуренция переходит к формированию однотипных граней кристаллов, они образуют свободную поверхность. Этот режим конкурентного роста представляет собой выбор ориентации, приводящий к структуре конкурентного роста. Для ZnO стабильно предпочтительной ориентацией является ориентация вдоль оси C [1]. Термодинамически стабильной фазой ZnO является симметрия вюрцита.

Судя по изображениям СЭМ в поперечном сечении (рис.2), пленки ZnO, легированные Er, обладают хорошей плоской поверхностью, размер кристаллических зерен зависит от подложки (кремний, кварц) и условий осаждения. Как видно, пленки состоят из зерен размером 0.10–0.15 мкм с хорошо ограниченной структурой без каких-либо пор, а размер кристаллических зерен зависит от концентрации Er. Пленки ZnO:Er, изготовленные на кварцевых подложках, состоят из отдельных нанокристаллитов большего размера. Разница в морфологии выращенных и легированных Er пленок после отжига отражается на размере и форме зерен.

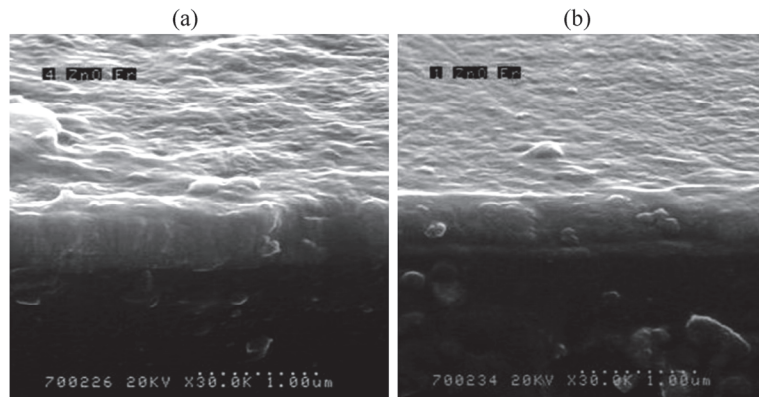


Рис.2. Типичные СЭМ-изображения поперечного сечения/скола для плёнок ZnO:Er, выращенных на кварцевой (а) и кремниевой (б) подложках.

Пленки не имеют большого количества границ зерен из-за отсутствия ионов Er на границах зерен. Термообработка, возможно, способствует росту большого размера зерен, поскольку высокотемпературный отжиг стимулирует миграцию зерен и вызывает слияние большего количества зерен. Хорошая кристалличность должна способствовать улучшению оптических и электрических свойств пленок.

АСМ изображения тонких пленок ZnO:Er показали, что покрытия являются сплошными, без видимых пор и сформированы из пирамидальных кристаллитов, выращенных в одном направлении, перпендикулярном поверхности подложки. Отчетливо наблюдается увеличение размера зерен тонких пленок ZnO, полученных на различных подложках, с увеличением концентрации Er. Среднеквадратичная шероховатость составляет 7.42, 12.26 и 26.73 нм для пленок с концентрацией Er 0.0 %, 0.8 % и 1.5 % соответственно. Скорее всего, увеличение шероховатости может быть связано с увеличением поверхностных дефектов (таких как впадины и холмы) после нанесения слоя и термической обработки.

### 3.2. Рентгенофазовый анализ

Типичная рентгенограмма плёнок ZnO:Er показана на рисунке 3а. Сканирование плёнок на различных подложках показывает наличие 2 пиков при  $2\theta \sim 20^\circ$  и  $34.5^\circ$ . Эти пики обусловлены отражениями от плоскостей (002) и (004) гексагональной фазы ZnO (карта JCPDS 36-1451). Наибольшая интенсивность пика (002) показывает, что плёнки растут преимущественно ориентированными вдоль оси C, перпендикулярно подложке (столбчатая структура).

Как показано в [1,3], зерна пленки после их слияния растут в основном в направлении, перпендикулярном поверхности подложки. В случае гексагональной кристаллической структуры это направление будет единым. Большинство плотно упакованных структур имеют наименьшую свободную поверхностную энергию в плоскости (002), и кристаллизация благоприятно протекает в этом направлении. Экспериментальные данные указывают на то, что однофазные слои ZnO:Er без какой-либо второй кристаллической фазы, такой как свободный Er

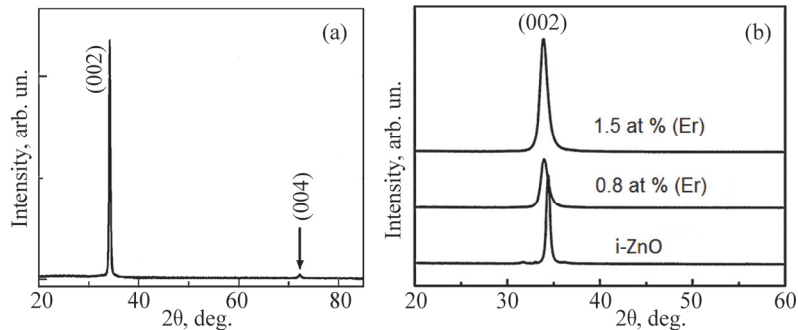


Рис.3. Рентгеновская дифракционная картина тонких пленок ZnO:Er на кварцевых подложках (а) и положение пика рентгеновского излучения в зависимости от концентрации Er (б).

или оксид эрбия, в частности,  $\text{Er}_2\text{O}_3$ , могут быть изготовлены при используемых технологических условиях. В осажденных пленках ZnO не было обнаружено никаких признаков, связанных с фазой  $\text{Er}_2\text{O}_3$ , что позволяет предположить, что атомы Er либо замещают Zn в решетке ZnO, либо сегрегируются в некристаллическую область на границах зерен. На рис.3б показано, что рентгеновские пики (002) с увеличением концентрации Er смещаются в сторону меньших углов по отношению к таковому для чистого ZnO ( $2\theta = 34.42^\circ$ ).

Пленки имели значения параметра «*c*» немного выше, чем у порошкового материала ZnO ( $c = 5.21 \text{ \AA}$ ), что указывает на то, что элементарные ячейки тонких пленок вытянуты вдоль оси *C*, и силы сжатия были преобладающими. Постоянная решетки «*c*» увеличивается с  $5.21 \text{ \AA}$  до  $5.28 \text{ \AA}$  с увеличением концентрации эрбия с 0.0 до 1.5 ат. %. Поскольку ионный радиус  $\text{Er}^{3+}$  ( $0.89 \text{ \AA}$ ) больше, чем у  $\text{Zn}^{2+}$  ( $0.74 \text{ \AA}$ ), увеличение этой постоянной решетки «*c*» указывает на то, что ионы  $\text{Er}^{3+}$  успешно замещают ионы  $\text{Zn}^{2+}$  в решетке ZnO [11]. Внутреннее напряжение сжатия в пленках связано с бомбардировкой энергичными частицами во время осаждения, а не с тепловым напряжением, возникающим из-за разницы между коэффициентом теплового расширения пленки и подложки [1,4].

С другой стороны, когда образцы подвергались отжигу, микроструктура пленок не изменялась в результате возможно окисления Er и формирования фазу  $\text{Er}_2\text{O}_3$ . Присутствие фазы  $\text{Er}_2\text{O}_3$  в образце не наблюдалось, что связано либо с относительно небольшим количеством атомов Er, включенных в пленку (низкий уровень легирования), либо из-за отсутствия этих фаз для используемых условий осаждения. После отжига пики были сдвинуты на более высокие углы дифракции, и пленки показали параметры решетки (*a* и *c*) несколько меньшие, чем значения для нелегированных пленок ZnO. Это наводило на мысль о том, что напряжение менялось от сжимающего к растягивающему. Возможно, что температура отжига вызвала растягивающее напряжение из-за несоответствия между коэффициентами тепловой энергии при охлаждении пленок [12]. Также было замечено, что отжиг пленок приводит к изменению интенсивности основного дифракционного пика (002) и показал увеличение его интенсивности, что

однозначно указывает на улучшение кристаллической структуры пленки. Средний размер кристаллитов был увеличен после процесса отжига. Таким образом, высокое качество кристаллической структуры полученных тонких пленок ZnO:Er делает их кандидатом для применения в приборах оптоэлектроники.

#### 4. Заключение

Влияние различного атомного содержания ионов Er<sup>+3</sup> на микроструктурные свойства пленок ZnO, выращенных на подложках из плавленого кварца и p-Si, было изучено различными экспериментальными методами. По мере повышения температуры отжига наблюдались некоторые изменения в физических свойствах. Элементное катрирование Zn, Er и O показывает однородное распределение всех компонентов без каких-либо концентрированных мест на поверхности. Результаты показывают, что коэффициент включения ионов Er<sup>+3</sup> является низким и достигает примерно 1.5%. Пленки ZnO, легированные Er, обладают хорошей поверхностью, а размер кристаллических зерен зависит от подложки (кремний или кварц) и условий осаждения. Пленки состоят из зерен размером около 0.10 – 0.15 мкм с хорошо ограненной структурой без какой-либо пористости, а размер кристаллических зерен зависит от концентрации Er. Разница в морфологии выращенных и легированных Er пленок ZnO после отжига отражается на размере и форме зерен. Методом рентгенографии было обнаружено, что все исследованные пленки имеют поликристаллическую структуру типа вюрцита и демонстрируют преимущественную ориентацию (002) с осью C, перпендикулярной поверхности подложки. В пленках ZnO:Er примесных фаз обнаружено не было. Изменение параметров решетки указывает на то, что ионы легирующей примеси, замещающие ионы Zn, были включены в решетку ZnO. Высокое качество микроструктуры тонких пленок ZnO:Er делает их кандидатом на роль функционального материала для применения в приборах оптоэлектроники.

Часть работ была выполнена в рамках белорусско-армянского проекта БРФФИ № Т21АРМ-003. Автор этой работы благодарен ГЦ «Белмикроанализ» ОАО «ИНТЕГРАЛ» за исследования поверхности и химического состава тонких пленок.

#### ЛИТЕРАТУРА

1. V.A. Coleman, A. Victoria, C. Jagadish. Basic Properties and Applications of ZnO, Zinc Oxide Bulk, Thin Films and Nanostructures, Amsterdam: Elsevier Science Ltd, 2006.
2. Y.K. Mishra, G. Modi, V. Cretu, et. al. ACS Appl. Mater. Interfaces, 7, 14303 (2015).
3. X. Wang, X. Kong, G. Shan, et. al. J. Phys. Chem. B., **108**, 18408 (2004).
4. N.H. Nickel, E. Terukov. Zinc Oxide – A Material for Micro- and Optoelectronic Applications, Netherlands: Springer, 2005.
5. H. Akazawa, H. Shinojima. Mater. Sci. Eng. B, **189**, 38 (2014).
6. R. Das, N. Khichar, S. Chawla. J. Mater. Sci.: Mater. Electron., **26**, 7174 (2015).
7. V. Kumar, O.M. Ntwaeborwa, T. Soga, et. al. ACS Photonics, **4**, 2613 (2017).

8. **M. Kohls, M. Bonanni, L. Spanhel, et. al.** Appl. Phys. Lett., **81**, 3858 (2002).
9. **X. Meng, C. Liu, F. Wu.** J. Colloid Interface Sci., **358**, 334 (2011).
10. **A.J. Kenyon.** Prog. Quantum Electron., **26**, 225 (2002).
11. **A. Polman.** Journal of Applied Physics, **82**, 1 (1997).
12. **G. Hodes.** Chemical Solution Deposition of Semiconductor Films, New York: Marcel Dekker Inc, 2005.

## MICROSTRUCTURE OF ZnO:Er FILMS PREPARED BY MAGNETRON SPUTTERING

V.F. GREMENOK

Er-doped ZnO (ZnO:Er) thin films were grown on quartz and p-Si substrates at 25°C by radio-frequency magnetron sputtering method. The effect of the heat treatment at 600°C and 900°C on the properties of the films was analyzed by scanning electron microscopy, energy dispersive X-ray spectroscopy, atomic force microscopy and X-ray diffraction analysis. A homogeneous elements distribution is revealed for all investigated films on different substrates. ZnO:Er films were found to be uniform, pinhole-free, well adherent to the substrate and the crystal grain size is dependent on the type of substrate and the preparation conditions. All the films showed a (002) preferential orientation with the c-axis perpendicular to the substrate surface. The results obtained from X-ray diffraction spectra reveal that Er<sup>3+</sup> ions successfully substitute for Zn<sup>2+</sup> ions in the ZnO lattice.